

# 武汉理工大学

数学建模暑期培训论文

第 2 题

基于卷积自编码与 k-medoids 模型的指纹编码  
与分类

---

第 10 组

姓名

刘子川

程宇

祁成

方向

编程

建模

写作

2025 年 5 月 30 日

## 摘要

指纹识别系统的存储量巨大,提高指纹编码率具有重要意义。本文提出利用深度学习方法建立卷积自编码器模型,在非线性学习空间中有损压缩编码,并根据编码距离对指纹进行聚类。

为消除指纹图像噪声和伪特征点影响,设计了预处理策略体系以统一图像尺度、细化纹线骨架。首先对指纹图像进行灰度值线性归一化处理,尺寸放缩后利用分数阶微分算子构造掩膜进行图像增强,最后通过方向场确定脊线实现像素二值化。预处理保留了指纹的连接状态、拓扑结构和纹理信息,剔除了次要纹线宽度信息,有利于后续编码。

针对问题一,鉴于小样本条件下难以有效提取指纹特征的问题,设计了一种卷积自编码网络的特征提取算法。将预处理后的图像信号用卷积核转化到高维特征空间,利用大量无标签指纹样本训练卷积自编码器网络。通过损失函数 **KL 散度** 进行无监督学习,编码出最佳线性空间特征。训练提取的指纹特征损失率仅为 **0.04%**,具有高还原度。

针对问题二,对卷积自编码器生成的编码向量进行归一化处理,设计加权相似度量指纹间相似性。计算归一化编码向量的谷本系数、皮尔逊相关系数和**马氏距离**,同向化处理后加权求和,得到量化相似度。相似度热图可视化显示指纹间的异同。

针对问题三,建立中心聚类模型,以问题二的量化相似度为代价函数,使用 **k-medoids** 算法选取聚类中心完成分类。对于附件中的 16 个指纹样本,基于加权相似度计算每对样本的相似度,选取  $k$  个样本点作为聚类中心,以样本到中心的平均相似度为代价函数。遍历聚类中心组合,当  $k = 4$  时代价函数最优,分类结果为样本 **10** 独立为一组,其余三组为 **{2, 3, 5}**、**{1, 4, 7, 11, 16}** 和 **{6, 8, 9, 12, 13, 14, 15}**。

本文的优点为: 1. 采用卷积核提取指纹细节,大幅降低数据维度的同时挖掘图像特征。2. 相较传统编码,模型具有较强的个体表征能力,可通过解码器高精度还原图像。

关键词: 卷积自编码器 分数阶微分算子 **k-medoids** 无监督学习

# 目录

<b>1 问题重述</b>	<b>1</b>
1.1 问题背景	1
1.2 问题概述	1
<b>2 模型假设</b>	<b>1</b>
<b>3 符号说明</b>	<b>2</b>
<b>4 数据预处理</b>	<b>2</b>
4.1 归一化处理	3
4.1.1 灰度值处理	3
4.1.2 外框去除与尺度统一	3
4.2 图像增强处理	4
4.3 二值化处理	5
4.3.1 场方向估计	5
4.3.2 二值化	6
<b>5 问题一模型的建立与求解</b>	<b>6</b>
5.1 问题描述与分析	6
5.2 搭建卷积自编码器模型	7
5.2.1 卷积神经网络	7
5.2.2 卷积自编码器	8
5.3 实验结果及分析	9
5.4 灵敏度分析	11
<b>6 问题二模型的建立与求解</b>	<b>12</b>
6.1 问题分析与相似度计算	12
6.2 实验结果及分析	12
6.3 灵敏度分析	13
<b>7 问题三模型的建立与求解</b>	<b>14</b>
7.1 问题描述与分析	14
7.2 k-medoids 模型的建立与求解	14
7.3 实验结果及分析	14

<b>8 模型的评价</b> .....	<b>15</b>
8.1 模型的优点 .....	15
8.2 模型的缺点 .....	16
8.3 模型总结与展望 .....	16
<b>附录 A 第一问代码实现及可视化</b> .....	<b>19</b>
<b>附录 B 第二、三问代码实现及可视化</b> .....	<b>22</b>

# 1 问题重述

## 1.1 问题背景

自动指纹识别系统（Automated Fingerprint Identification System, AFIS）在多个领域有广泛应用。研究主要集中在图像增强、指纹分类和细节匹配三个方面，分为“离线部分”和“在线部分”。如图 1 所示，离线部分包括采集指纹、提取细节点、存储到模板库；在线部分包括采集指纹、提取细节点并与模板库匹配，判断是否来自同一手指<sup>[1, 3]</sup>。指纹分类用于大规模指纹库中减少搜索范围。指纹图像占用空间大，像素信息不适合计算机分析，需用最少字节描述指纹内在结构、形态和特征。AFIS 可扫描犯罪现场指纹，与执法机关的指纹档案比对，列出匹配百分比供专家验证<sup>[2]</sup><sup>1</sup>。

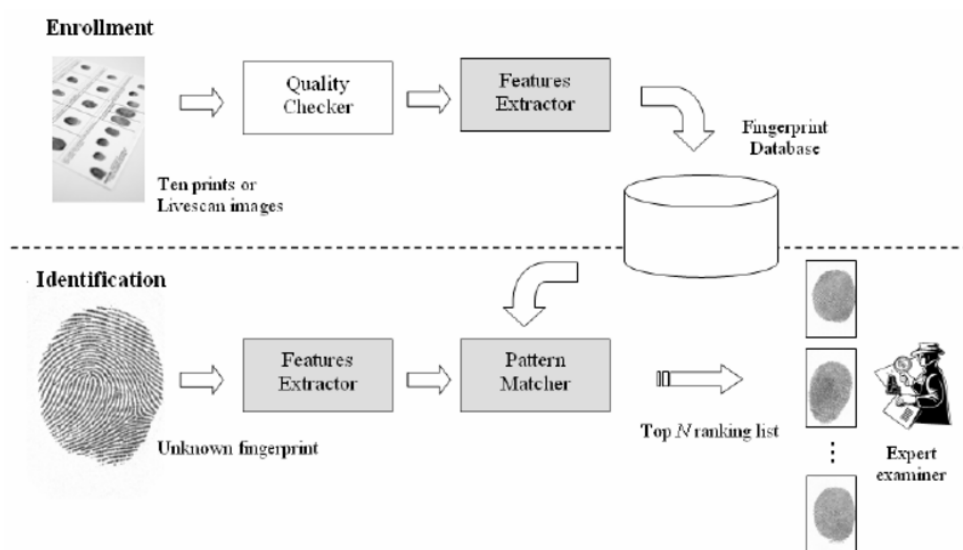


图 1 自动指纹识别系统框图

## 1.2 问题概述

围绕附件中的 16 幅指纹图像，不借助现有指纹软件，提出以下问题：

**编码：**给出一种用不超过 200 字节（称为“指纹密码”）描述指纹基本特征的表示方法，介绍其数学原理。

**匹配：**实现编码方法，为每幅指纹生成“指纹密码”。基于这些表示，比较指纹间的异同及相似程度。

**应用：**对比并归类 16 个指纹，给出依据和结果。

# 2 模型假设

(1) 附件中所有指纹图像为清晰完整图像，无压缩信息损失。

<sup>1</sup><https://baike.baidu.com/item/AFIS/2851410?fr=aladdin>

(2) 指纹图像特征具有代表性，包含正常人指纹的所有特征。

### 3 符号说明

符号	说明
$P_i$	第 $i$ 张图像, $i \in \{1, 2, \dots, 16\}$
$u_{P(x,y)}$	像素矩阵
$(x, y)$	像素点位置值
$fringe_{x1}, fringe_{x2}$	图片的上下边界
$fringe_{y1}, fringe_{y2}$	图片的左右边界
$E$	信息熵
$iDir$	脊线方向
$\gamma$	编码器的图像编码
$b$	编码大小
$Z$	解码器还原的图像矩阵
$epoch$	迭代次数
$in/out$	出/入通道数
$lr$	学习率
$k_i$	卷积核 $i$
$T$	谷本系数
$P$	皮尔逊相关系数
$M$	马氏距离
$\{c_i\}$	聚类中心
$\max_{1 \leq j \leq k} S(\gamma_i, c_j)$	样本点 $\gamma_i$ 与 $\{c_i\}$ 间的最高相似度值

注：表中未说明的符号以首次出现处为准

### 4 数据预处理

在搭建模型前，对指纹图像进行预处理以统一规格、去除噪声，流程如图 2 所示。

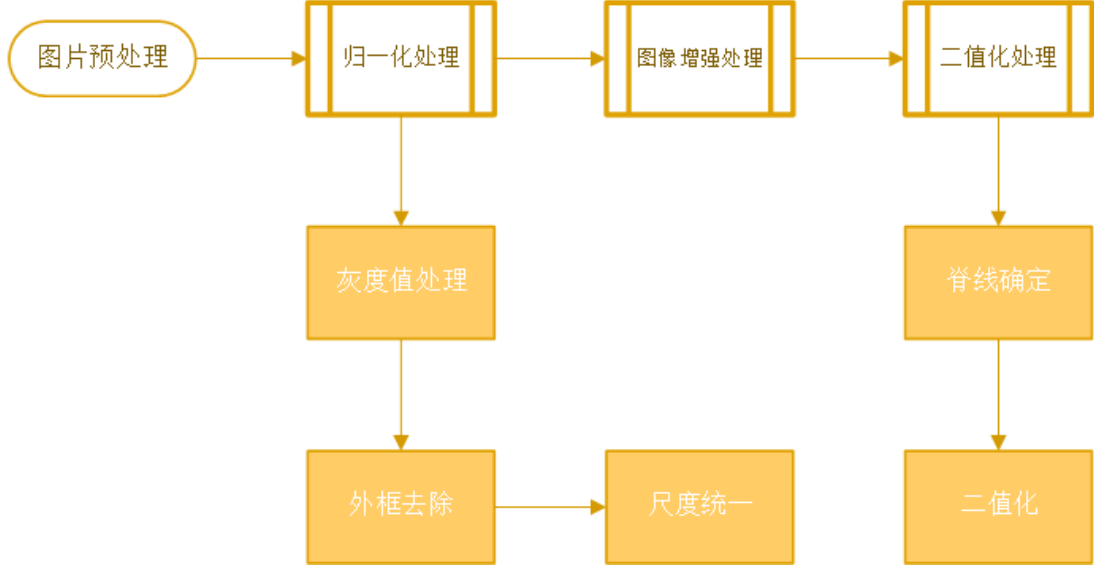


图 2 图片数据预处理流程

#### 4.1 归一化处理

##### 4.1.1 灰度值处理

由于指纹图像纹理深浅不一, 先进行灰度值归一化。图像  $P_i$  的像素灰度值  $P_i(x, y) \in [0, 255]$ , 255 为纯白, 0 为纯黑。计算最大和最小灰度值:

$$P_{i,\max} = \max_{1 \leq x \leq n, 1 \leq y \leq m} P_i(x, y),$$

$$P_{i,\min} = \min_{1 \leq x \leq n, 1 \leq y \leq m} P_i(x, y),$$

其中  $n$ 、 $m$  为图像行数和列数。线性归一化:

$$P'_i(x, y) = \frac{255}{P_{i,\max} - P_{i,\min}} (P_i(x, y) - P_{i,\min}),$$

得到灰度值归一化图像  $P'_i$ , 范围为  $[0, 255]$ 。

##### 4.1.2 外框去除与尺度统一

为去除空白外框, 设定边界阈值  $threshold_N$ 。当某行非空白像素数大于  $threshold_N$ , 定义上下边界:

$$fringe_{x1} = \min\{x \mid \sum_{i=1}^m (P'_i(x, i) < 255) > threshold_N\},$$

$$fringe_{x2} = \max\{x \mid \sum_{i=1}^m (P'_i(x, i) < 255) > threshold_N\},$$

左右边界:

$$\begin{aligned} fringe_{y1} &= \min\{y \mid \sum_{i=1}^n (P'_i(i, y) < 255) > threshold_N\}, \\ fringe_{y2} &= \max\{y \mid \sum_{i=1}^n (P'_i(i, y) < 255) > threshold_N\}. \end{aligned}$$

去除外框后图像为  $P''_i = P'_i(fringe_{x1} : fringe_{x2}, fringe_{y1} : fringe_{y2})$ 。定义标准行数  $N$  和列数  $M$ ，放缩图像:

$$\begin{aligned} P^s_i(x, y) &= P''_i \left( \left\lfloor \frac{(fringe_{x2} - fringe_{x1})(x - 1)}{N - 1} \right\rfloor + fringe_{x1}, \right. \\ &\quad \left. \left\lfloor \frac{(fringe_{y2} - fringe_{y1})(y - 1)}{M - 1} \right\rfloor + fringe_{y1} \right), \\ x &\in [1, N], \quad y \in [1, M]. \end{aligned}$$

得到归一化图像  $P^s_i(x, y)$ 。

## 4.2 图像增强处理

利用 Grünwald-Letnikov 分数阶微分算子<sup>[5]</sup> 构造自适应函数，采集梯度信息和信息熵确定微分阶数  $v$ 。梯度  $G$  反映像素特征突变:

$$G[P(x, y)] = \max \left\{ \left| \frac{\partial P}{\partial x} \right|, \left| \frac{\partial P}{\partial y} \right| \right\}. \quad (1)$$

信息熵  $E$  描述边缘纹理变化:

$$E = - \sum_{i=1}^n p(x_i) \cdot \log_2(p(x_i)), \quad (2)$$

归一化:

$$E' = \frac{E - E_{\min}}{E_{\max} - E_{\min}}. \quad (3)$$

构造关系函数  $v = w_1 \cdot G + w_2 \cdot E' + w_3$ ，梯度和信息熵越大， $v$  越大。实验中  $v = 3$ 。Grünwald-Letnikov 微分近似:

$$\frac{\partial^v P(x, y)}{\partial x_i^v} \doteq \sum_{k=0}^{t-\alpha} (-1)^k \binom{v}{k} P(x_i - k), \quad (4)$$



取 8 个方向，构造  $5 \times 5$  掩膜，权重为前三项系数，中心点、第一层、第二层权重：

$$w_0 = \frac{8}{4v^2 - 12v + 8}, \quad w_1 = \frac{-v}{4v^2 - 12v + 8}, \quad w_2 = \frac{v}{16(v - 2)}.$$

对图像进行掩膜操作：

$$g(x, y) = \sum_{s=-a}^a \sum_{t=-b}^b P(x + s, y + t) \cdot w(x, y), \quad (5)$$

其中  $a = b = \frac{n-1}{2}$ ,  $n = 5$ 。

### 4.3 二值化处理

#### 4.3.1 场方向估计

指纹图像具有清晰方向场。对像素  $P(x, y)$ ，取  $9 \times 9$  像素矩阵  $u_{P(x, y)}$ ：

$$u_{P(x, y)} = \begin{bmatrix} P(x - 4, y - 4) & \cdots & P(x + 4, y - 4) \\ \vdots & \ddots & \vdots \\ P(x + 4, y + 4) & \cdots & P(x + 4, y + 4) \end{bmatrix}.$$

超出边界的像素设为 255。按图 3 的 8 个方向计算灰度平均值  $Gmean[i]$ ，分组比较垂直方向差值：

$$Gdiff[j] = |Gmean[j] - Gmean[j + 4]|, \quad j = 1, 2, 3, 4.$$

最大差值方向为脊线方向：

$$iDir = \begin{cases} \arg \max_j (Gdiff[j]), & |P(x, y) - \max_j (Gdiff[j])| < |P(x, y) - \max_j (Gdiff[j + 4])|, \\ \arg \max_j (Gdiff[j]) + 4, & \text{otherwise.} \end{cases}$$

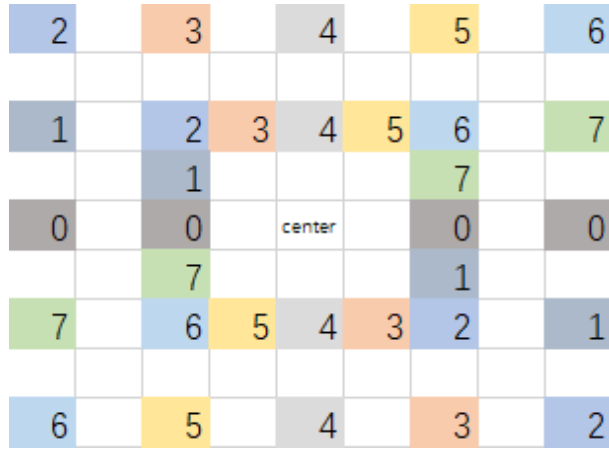


图 3 脊线估计方向

#### 4.3.2 二值化

根据方向场,计算脊线方向  $iDir$  和法线  $iVar = iDir + 4$  的灰度平均值  $Gmean[iDir]$  和  $Gmean[iVar]$ , 二值化:

$$P(x, y) = \begin{cases} 255, & Gmean[iDir] \geq Gmean[iVar], \\ 0, & \text{otherwise.} \end{cases}$$

255 表示背景和谷线, 0 表示脊线。预处理效果如图 4所示:



图 4 图像预处理效果图

## 5 问题一模型的建立与求解

### 5.1 问题描述与分析

问题一要求用不超过 200 字节的“指纹密码”描述指纹特征。传统压缩方法（如霍夫曼编码、Golomb 编码、LZW 编码、小波编码<sup>[7, 8, 9]</sup>）在 200 字节限制下易丢失细节。

卷积自编码器通过无监督学习提取关键信息，降低维度，适合小样本编码。

## 5.2 搭建卷积自编码器模型

自编码器 (AutoEncoder) 通过无监督学习生成低维编码, 适用于降维和特征检测<sup>[10]</sup>。本文基于 VGG 模型<sup>[4]</sup>, 构造卷积自编码器 (CAE), 通过交叉验证优化小样本数据参数。

### 5.2.1 卷积神经网络

**卷积核** 矩阵卷积提取图像特征, 全卷积定义为:

$$z(u, v) = \sum_{i=-\infty}^{\infty} \sum_{j=-\infty}^{\infty} x_{i,j} \cdot k_{u-i, v-j}, \quad (6)$$

有效值卷积:

$$z(u, v) = \sum_{i=-\infty}^{\infty} \sum_{j=-\infty}^{\infty} x_{i+u, j+v} \cdot k_{rot, i, j} \cdot \chi(i, j), \quad \chi(i, j) = \begin{cases} 1, & 0 \leq i, j \leq n, \\ 0, & \text{otherwise.} \end{cases} \quad (7)$$

其中  $X$  为  $m \times m$  图像矩阵,  $K$  为  $n \times n$  卷积核 (通常  $3 \times 3$ ),  $K_{rot}$  为  $K$  转置。卷积示意图如图 5 所示:

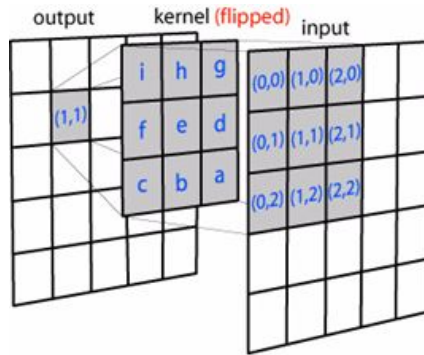


图 5 卷积核函数示意图

**池化** 池化压缩 Feature Map, 减少参数, 增强鲁棒性。Max-Pooling 取  $2 \times 2$  邻域最大值, 如图 6 所示:

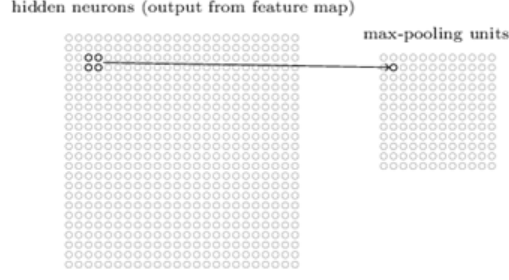


图 6 池化层 **Max-Pooling** 示意图

激活 激活层计算:

$$u_k = \sum_{i=1} w_{ki} x_i, \quad y_k = f(u_k - b_k),$$

使用 ReLU 激活函数:

$$f_{\text{ReLU}}(z) = \max(0, z), \quad \frac{d}{dz} f_{\text{ReLU}} = \begin{cases} 1, & z > 0, \\ 0, & z \leq 0. \end{cases} \quad (8)$$

输出层使用 softmax:

$$f_{\text{softmax}} = \frac{e^i}{\sum_j e^j}. \quad (9)$$

### 5.2.2 卷积自编码器

给定样本  $X = \{x_1, x_2, \dots, x_n\}$ ,  $X \in \mathbb{R}^{n \times c \times w \times h}$ , 自编码器编码和解码:

$$\gamma(x) = \text{Encoder}(W_1 x + b), \quad z(x) = \text{Decoder}(W_2 \gamma(x) + c). \quad (10)$$

最小化重构误差:

$$\theta = \arg \min_{\theta} L(X, Z) = \arg \min_{\theta} \frac{1}{2} \sum_{i=1}^N \|x^{(i)} - z(x^{(i)})\|^2. \quad (11)$$

CAE 编码器结构与 CNN 卷积池化部分相同, 解码器对称, 结构如图 7所示:

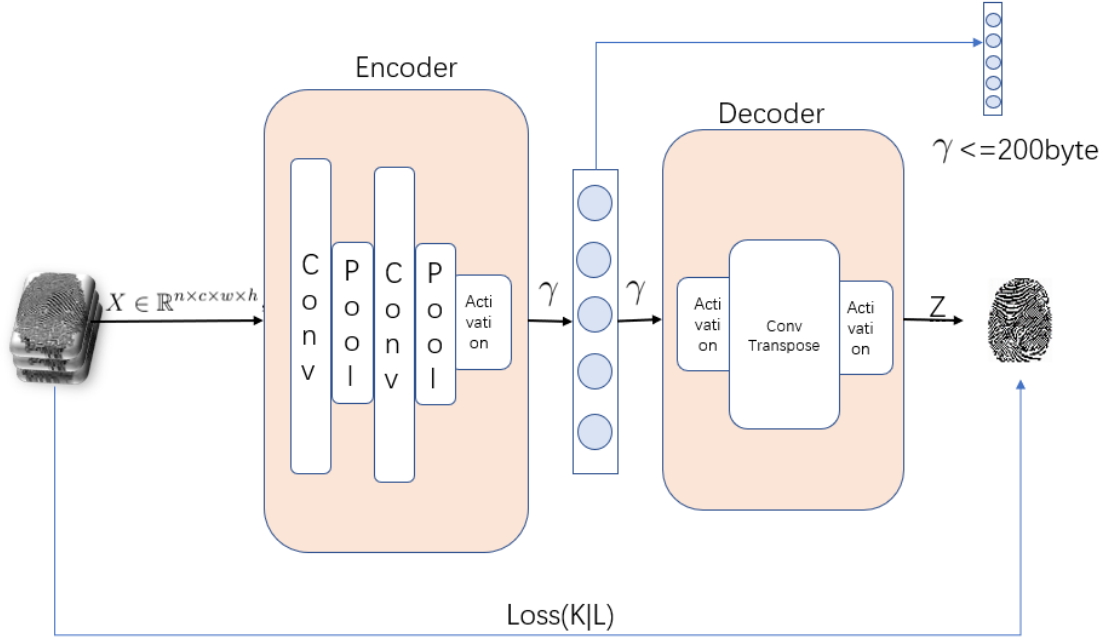


图 7 卷积自编码器 CAE 模型

添加稀疏约束，目标函数为：

$$\text{CAE} = L(X, Z) + \gamma \sum_{j=1}^{H_D} \text{KL}(\rho \parallel \hat{\rho}_j), \quad (12)$$

$$\text{KL}(\rho \parallel \hat{\rho}_j) = \rho \log \frac{\rho}{\hat{\rho}_j} + (1 - \rho) \log \frac{1 - \rho}{1 - \hat{\rho}_j}, \quad (13)$$

其中  $\gamma$  为稀疏权重， $H_D$  为隐藏单元数， $\rho$  为稀疏参数， $\hat{\rho}_j = \frac{1}{N} \sum_{i=1}^N y_j(x^{(i)})$  为平均激活。使用 Adam 优化器：

$$\begin{cases} m_t = \beta_1 m_{t-1} + (1 - \beta_1) \nabla_w f(w_t), \\ v_t = \beta_2 v_{t-1} + (1 - \beta_2) (\nabla_w f(w_t))^2, \\ \hat{m}_t = \frac{m_t}{1 - \beta_1^t}, \hat{v}_t = \frac{v_t}{1 - \beta_2^t}, \\ w_t = w_{t-1} - \eta \frac{\hat{m}_t}{\sqrt{\hat{v}_t + \varepsilon}}, \end{cases} \quad (14)$$

其中  $\beta_1 = 0.9$ ,  $\beta_2 = 0.999$ 。

### 5.3 实验结果及分析

输入  $400 \times 300$  指纹图像，参数设置如表 1 所示：

表 1 参数设置表

参数名称	值	参数名称	值
迭代次数 epoch	2000	吞吐量 batch	64
出/入通道数 in/out	3/3	编码大小 size	200
学习率 lr	0.01	偏置 $\beta_1, \beta_2$	0.9, 0.999
卷积核 $k_1, k_2, k_3$	3,3,4	池化层 padding	1

损失函数变化如图 8所示：

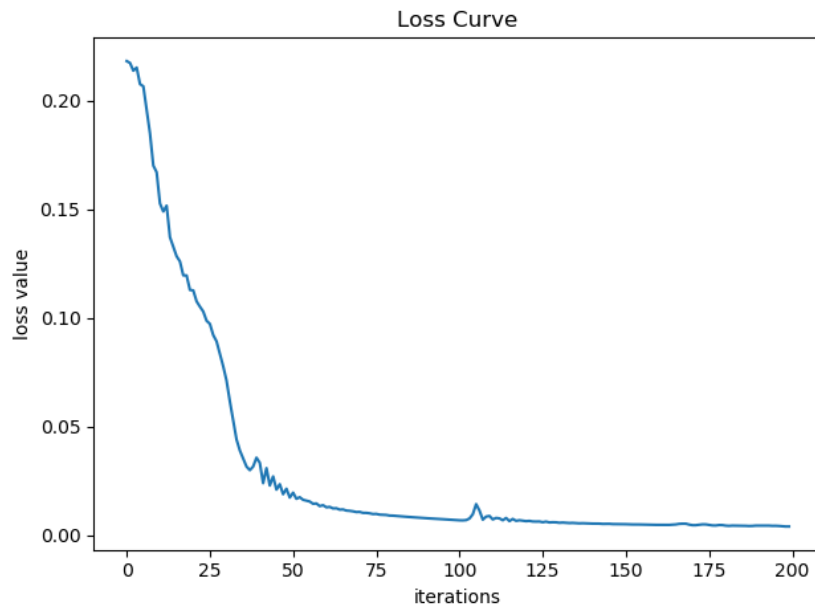


图 8 CAE 迭代过程中损失函数

信息损失仅 0.04%，优于传统编码。解码图像如图 9所示，迭代超过 120 次后清晰度接近原始图像。

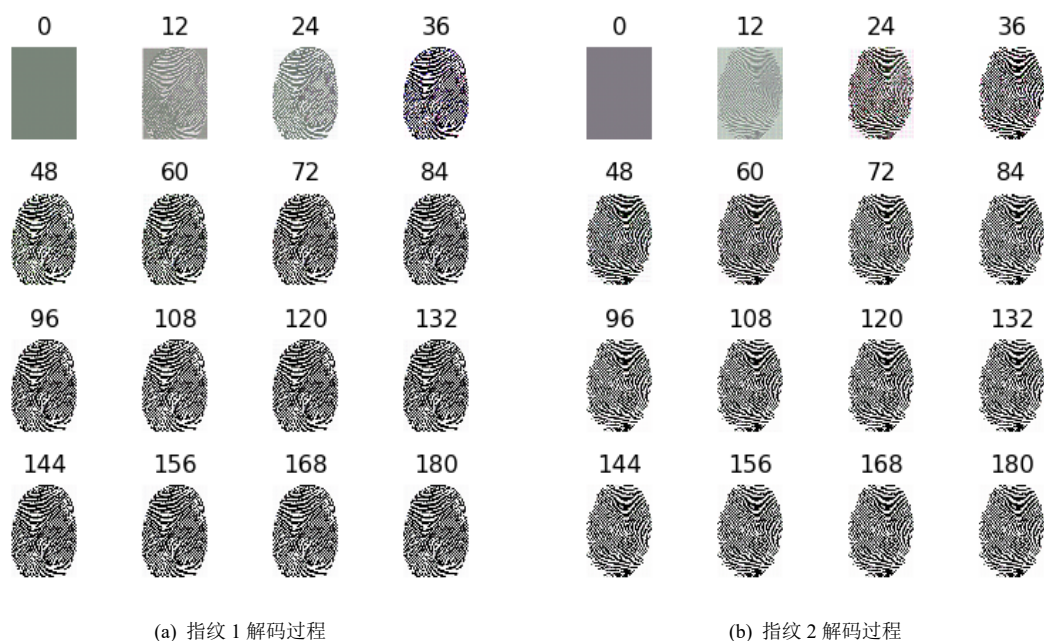


图 9 解码器还原效果图

## 5.4 灵敏度分析

调整编码大小  $b$ ，解码效果如图 10 所示：



图 10 不同编码字节限制的解码效果

50 字节可还原大致轮廓，100 字节还原微细节但有模糊，150 字节较清晰，200 字节以上可完美还原。

## 6 问题二模型的建立与求解

### 6.1 问题分析与相似度计算

问题二要求基于指纹编码分析相似性。CAE 将指纹图像转化为特征向量，相似性分析转化为向量相似度量。设计加权相似度，归一化向量后计算谷本系数、皮尔逊相关系数和马氏距离，构造关系函数。

- 谷本系数用于符号或布尔值相似度：

$$T(A, B) = \frac{A \cdot B}{\|A\|^2 + \|B\|^2 - A \cdot B}. \quad (15)$$

越大表示相似度越高。

- 皮尔逊相关系数反映线性相关性：

$$P(A, B) = \frac{\text{cov}(A, B)}{\sigma_A \cdot \sigma_B}, \quad (16)$$

绝对值越大，线性相关性越高。

- 马氏距离修正欧氏距离：

$$M(A, B) = \sqrt{(A - B)^T \Sigma^{-1} (A - B)}, \quad (17)$$

越小表示相似度越高， $\Sigma$  为协方差矩阵。

相似度函数：

$$S(A, B) = \omega_1 T(A, B) + \omega_2 |P(A, B)| + \omega_3 / M(A, B), \quad (18)$$

其中  $\omega_1 + \omega_2 + \omega_3 = 1$ ， $S(A, B)$  越大表示相似度越高。

### 6.2 实验结果及分析

取  $\omega_1 = 0.2$ ， $\omega_2 = 0.3$ ， $\omega_3 = 0.5$ ，相似度热图如图 11所示：



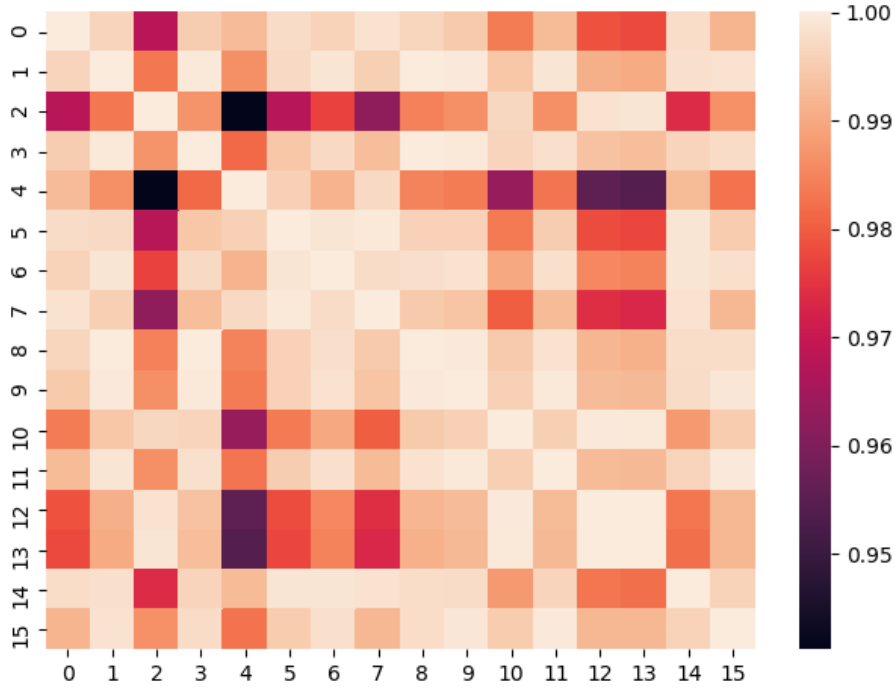


图 11 距离矩阵相似度热图

颜色越浅表示相似度越高，指纹对  $\{4, 7\}$ 、 $\{1, 11\}$ 、 $\{6, 13\}$  相似度高， $\{4, 13\}$ 、 $\{4, 2\}$  属于不同类型。

### 6.3 灵敏度分析

不同权重组合的热图如图 12所示：

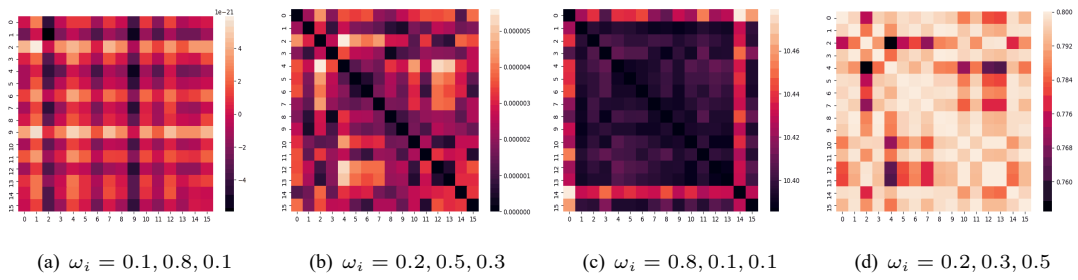


图 12 不同权重分配的相似度热图

图 (d) 浅色区域占比适中，深色区域集中，区分度最佳，权重  $\omega_1 = 0.2, \omega_2 = 0.3, \omega_3 = 0.5$  最优。

## 7 问题三模型的建立与求解

### 7.1 问题描述与分析

问题三要求基于问题二的相似度对 16 个指纹进行分类，属于样本分类问题。加权相似度  $S$  为非欧氏距离<sup>[10]</sup>，不适用 k-means 算法。本文使用 k-medoids 算法，以相似度平均值为代价函数。

### 7.2 k-medoids 模型的建立与求解

从 16 个样本  $\{\gamma_i\}$  中选  $k$  个作为聚类中心  $\{c_i\}$ ，代价函数：

$$J(c_1, c_2, \dots, c_k) = \frac{1}{16} \sum_{i=1}^{16} \max_{1 \leq j \leq k} S(\gamma_i, c_j), \quad (19)$$

优化目标：

$$\max \frac{1}{16} \sum_{i=1}^{16} \max_{1 \leq j \leq k} S(\gamma_i, c_j), \quad (20)$$

$$s.t. \{c_j \mid j \in [1, k]\} \subseteq \{\gamma_i \mid i \in [1, 16]\}. \quad (21)$$

样本规模小，采用遍历搜索最优聚类中心，伪代码如下：

---

#### Algorithm 1: k-medoids 算法

---

```

Input: 聚类中心数:  $k$ 
Output: 聚类中心:  $\{c_i\}$ 
1 Initialize  $J_{\max} \leftarrow 0$ 
2 for  $\pi_1 = 1$  to  $16 - k + 1$  do
3   for  $\pi_2 = \pi_1 + 1$  to  $16 - k + 2$  do
4      $\vdots$ 
5     for  $\pi_k = \pi_{k-1} + 1$  to  $16$  do
6       if  $\frac{J(\gamma_{\pi_1}, \gamma_{\pi_2}, \dots, \gamma_{\pi_k})}{J_{\max}} > J_{\max}$  then
7          $J_{\max} = J(\gamma_{\pi_1}, \gamma_{\pi_2}, \dots, \gamma_{\pi_k})$ 
8          $\{c_i\} = \{\gamma_{\pi_1}, \gamma_{\pi_2}, \dots, \gamma_{\pi_k}\}$ 
9       end
10    end
11     $\vdots$ 
12  end
13 end
14 return  $\{c_i\}$ 

```

---

### 7.3 实验结果及分析

聚类树状图如图 13所示：

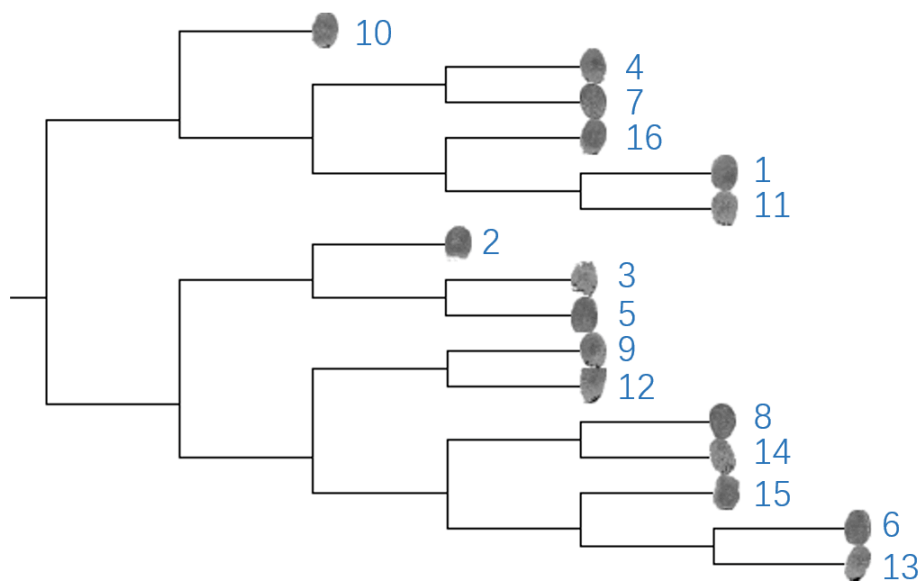


图 13 指纹聚类树状图

当  $k = 2$ ，分为  $\{1, 4, 7, 10, 11, 16\}$  和  $\{2, 3, 5, 6, 8, 9, 12, 13, 14, 15\}$ ；当  $k = 4$ ，样本 10 独立，其余为  $\{2, 3, 5\}$ 、 $\{1, 4, 7, 11, 16\}$  和  $\{6, 8, 9, 12, 13, 14, 15\}$ 。 $k = 4$  时代价函数最优，分类如图 14 所示，命名为螺形纹、环形纹、弓形纹、箕形纹。



图 14 指纹图像的识别与分类

## 8 模型的评价

### 8.1 模型的优点

- (1) 卷积核通过无监督学习提取指纹细节，压缩数据，保留关键信息。
- (2) CAE 在小样本条件下超越传统编码，可高精度还原图像。

## 8.2 模型的缺点

小样本数据易导致过拟合，需更多样本训练。

## 8.3 模型总结与展望

CAE 可优化 Encoder-Decoder 结构。Lucas Theis 等人<sup>[16]</sup>提出由 ComCNN 和 RecCNN 组成的压缩网络，ComCNN 提取紧凑表示，RecCNN 进行超分辨率重建。有损自编码器可结合概率模型  $Q$  分配熵编码比特数<sup>[17, 18]</sup>，在高斯尺度混合中优化低比特率失真。

## 参考文献

- [1] Davies S G. Touching Big Brother: How biometric technology will fuse flesh and machine[J]. Information Technology & People, 2014, 7(4): 38-47.
- [2] Moses K R, Higgins P, McCabe M, et al. Automated fingerprint identification system (AFIS)[J]. Scientific Working Group on Friction Ridge Analysis Study and Technology and National institute of Justice (eds.) SWGFAST-The fingerprint sourcebook, 2011: 1-33.
- [3] Dror I E, Wertheim K, Fraser-Mackenzie P, et al. The impact of human – technology co-operation and distributed cognition in forensic science: biasing effects of AFIS contextual information on human experts[J]. Journal of forensic sciences, 2012, 57(2): 343-352.
- [4] Simonyan K, Zisserman A. Very deep convolutional networks for large-scale image recognition[J]. arXiv preprint arXiv:1409.1556, 2014.
- [5] Scherer R, Kalla S L, Tang Y, et al. The Grünwald–Letnikov method for fractional differential equations[J]. Computers & Mathematics with Applications, 2011, 62(3): 902-917.
- [6] 邓正宏, 丁有军. 基于动态方向场的指纹图像增强算法 [J]. 微电子学与计算机, 2005, 22(2): 70-72.
- [7] 蓝波, 林小竹, 籍俊伟. 一种改进的 LZW 算法在图像编码中的应用 [J]. 计算机工程与科学, 2006, 28(6): 55-57.
- [8] 张旭东. 图像编码基础和小波压缩技术: 原理, 算法和标准 [M]. 清华大学出版社有限公司, 2004.
- [9] 赵利平, 林涛, 周开伦. 屏幕图像压缩中串复制位移参数的高效编码算法 [J]. 计算机学报, 2017, 40(5): 1218-1228.
- [10] 黄健航, 雷迎科. 基于边际 Fisher 深度自编码器的电台指纹特征提取 [J]. 模式识别与人工智能, 2017 (2017 年 11): 1030-1038.
- [11] Gao L, Chen P Y, Yu S. Demonstration of convolution kernel operation on resistive cross-point array[J]. IEEE Electron Device Letters, 2016, 37(7): 870-873.
- [12] Guo X, Liu X, Zhu E, et al. Deep clustering with convolutional autoencoders[C]//International conference on neural information processing. Springer, Cham, 2017: 373-382.

- [13] 王万良, 杨小涵, 赵燕伟, 等. 采用卷积自编码器网络的图像增强算法 [J]. 浙江大学学报 (工学版), 2019, 53(9): 1728-1740.
- [14] Arora P, Varshney S. Analysis of k-means and k-medoids algorithm for big data[J]. Procedia Computer Science, 2016, 78: 507-512.
- [15] Yu D, Liu G, Guo M, et al. An improved K-medoids algorithm based on step increasing and optimizing medoids[J]. Expert Systems with Applications, 2018, 92: 464-473.
- [16] Theis L, Shi W, Cunningham A, et al. Lossy image compression with compressive autoencoders[J]. arXiv preprint arXiv:1703.00395, 2017.
- [17] Huszar F, Theis L, Shi W, et al. Lossy Image Compression with Compressive Autoencoders[J]. 2020.
- [18] Mukherjee R, Chandran S. Lossy image compression using SVD coding, compressive autoencoders, and prediction error-vector quantization[C]//2017 4th International Conference on Opto-Electronics and Applied Optics (Optronix). IEEE, 2017: 1-5.

## 附录 A 第一问代码实现及可视化

### 卷积自编码器—Python 源代码

```
import torch
import torch.nn as nn
from PIL import Image
import matplotlib.pyplot as plt
import math
import numpy as np

def read_single_to_tensor(image_path, device):
    """
    read single image and convert to tensor
    Args:
        image_path: image path with name
    Returns:
        image tensor on gpu with shape (1, 3, w, h)
    """
    # 1: read and convert to tensor on gpu
    image = Image.open(image_path).convert('RGB')
    image = torch.from_numpy(np.array(image)).to(device)
    image = image
    # image = image.expand(image.shape[0], image.shape[1], 3)
    # 2: transpose from (w, h, 3) into (3, w, h)
    image = image.permute(2, 1, 0)

    # 3: add dim from (3, w, h) into (1, 3, w, h)
    image = image.unsqueeze(0).float()
    image = image/255
    print(image.shape)
    return image

class AE(nn.Module):
    """ Auto Encoder """
    def __init__(self, in_channels, out_channels, encode_dim):
        super().__init__()
        self.in_channels = in_channels
        self.out_channels = out_channels
        self.curr_dim = encode_dim
        self.en_net = nn.Sequential(*self.build_encoder())
        self.de_net = nn.Sequential(*self.build_decoder())

    def build_encoder(self):
        encoder = []
```

```

        encoder.append(nn.Conv2d(in_channels=self.in_channels, out_channels=self.curr_dim,
                                   kernel_size=3, stride=1, padding=1))
    for i in range(2):
        encoder.append(nn.Conv2d(in_channels=self.curr_dim, out_channels=self.curr_dim*2,
                                   stride=2, padding=1, kernel_size=3))
        encoder.append(nn.ReLU())
        self.curr_dim = self.curr_dim * 2
    return encoder

def build_decoder(self):
    decoder = []
    for i in range(2):
        decoder.append(nn.ConvTranspose2d(in_channels=self.curr_dim,
                                           out_channels=int(self.curr_dim/2),
                                           kernel_size=4, stride=2, padding=1))
        decoder.append(nn.ReLU())
        self.curr_dim = int(self.curr_dim/2)
    decoder.append(nn.Conv2d(in_channels=self.curr_dim, out_channels=self.out_channels,
                              kernel_size=3, padding=1, stride=1))
    decoder.append(nn.Sigmoid())
    return decoder

def forward(self, x):
    x = self.en_net(x)
    out = self.de_net(x)
    return out, x

# 1: options
device = torch.device('cuda' if torch.cuda.is_available() else 'cpu')
total_iterations = 200
image_save_frequency = int(total_iterations/16)

# 2:data prepare
image_tensor = read_single_to_tensor(r"C:\Users\77526\Desktop\lzc\资料\DEMO\data\result10.png",
                                     device=device)
# i_w, i_h = image_tensor.shape[2], image_tensor.shape[3]
result_images = []
result_iterations = []
record_loss = []
record_iterations = []

# 3:network define
ae_net = AE(in_channels=3, out_channels=3, encode_dim=8).to(device)
print(ae_net)

# 4:optimizer define
optimizer = torch.optim.Adam(ae_net.parameters(), lr=0.01, betas=(0.9, 0.999))

```



```

# 5:loss define
mse_loss = nn.MSELoss()

# 6: plot function
def plot_list_image(image_list, title_list):
    """
    plot a list of image with title
    Args:
        image_list: a list of image with numpy type
        title_list: a list of title with str type

    Returns:
        True after plot
    """
    plt.figure(figsize=(4, 4))
    w_h = int(math.sqrt(len(image_list)))
    for i in range(w_h*w_h):
        plt.subplot(w_h, w_h, i+1)
        plt.axis("off")
        plt.imshow(image_list[i])
        plt.title(title_list[i])
    plt.show()
    return True

if __name__ == "__main__":
    for iteration in range(total_iterations):
        recon_image, encode = ae_net(image_tensor)
        loss = mse_loss(recon_image, image_tensor)
        optimizer.zero_grad()
        loss.backward()
        optimizer.step()
        print("iter: {}, loss: {}".format(iteration, loss.item()))
        record_loss.append(loss.item())
        record_iterations.append(iteration)
        recon_image = recon_image.squeeze(1)
        # print(recon_image.shape)
        if iteration % image_save_frequency == 0:
            result_images.append(recon_image.detach().cpu().numpy().squeeze().transpose(2,1, 0))
            result_iterations.append(str(iteration))
    plot_list_image(result_images, result_iterations)
    plt.plot(record_iterations, record_loss)
    plt.xlabel("iterations")
    plt.ylabel("loss value")
    plt.title("Loss Curve")
    plt.show()

```

## 附录 B 第二、三问代码实现及可视化

### k-medoids 模型–Python 源代码

```
from itertools import combinations
from PIL import Image
import numpy as np
from numpy import *
from pylab import *
from PIL import Image, ImageDraw
import os
import seaborn as sns

class ClusterNode(object):
    def __init__(self, vec, left, right, distance=0.0, count=1):
        self.left = left
        self.right = right
        self.vec = vec
        self.distance = distance
        self.count = count # 只用于加权平均

    def extract_clusters(self, dist):
        if self.distance < dist:
            return [self]
        return self.left.extract_clusters(dist) + self.right.extract_clusters(dist)

    def get_cluster_elements(self):
        return self.left.get_cluster_elements() + self.right.get_cluster_elements()

    def get_height(self):
        return self.left.get_height() + self.right.get_height()

    def get_depth(self):
        return max(self.left.get_depth(), self.right.get_depth()) + self.distance

    def draw(self, draw, x, y, s, imlist, im):
        """ 用图像缩略图递归地画出叶节点 """
        h1 = int(self.left.get_height() * 20 / 2)
        h2 = int(self.right.get_height() * 20 / 2)
        top = y - (h1 + h2)
        bottom = y + (h1 + h2)
        # 子节点垂直线
        draw.line((x, top + h1, x, bottom - h2), fill=(0, 0, 0))
        # 水平线
        ll = self.distance * s
        draw.line((x, top + h1, x + ll, top + h1), fill=(0, 0, 0))
```

```

        draw.line((x, bottom - h2, x + ll, bottom - h2), fill=(0, 0, 0))
        # 递归地画左边和右边的子节点
        self.left.draw(draw, x + ll, top + h1, s, imlist, im)
        self.right.draw(draw, x + ll, bottom - h2, s, imlist, im)

class ClusterLeafNode(object):

    def __init__(self, vec, id):
        self.vec = vec
        self.id = id

    def extract_clusters(self, dist):
        return [self]

    def get_cluster_elements(self):
        return [self.id]

    def draw(self, draw, x, y, s, imlist, im):
        nodeim = Image.open(imlist[self.id])
        nodeim.thumbnail([20, 20])
        print(self.id)
        ns = nodeim.size
        im.paste(nodeim, [int(x), int(y - ns[1] // 2), int(x + ns[0]), int(y + ns[1] - ns[1] //
            2)])

    def get_height(self):
        return 1

    def get_depth(self):
        return 0

def multipl(a,b):
    sumofab=0.0
    for i in range(len(a)):
        temp=a[i]*b[i]
        sumofab+=temp
    return sumofab

def L2dist(v1, v2):
    return sqrt(sum((v1 - v2) ** 2))

def L1dist(v1, v2):
    return sum(v1 - v2)

```

```

def corrcoefdist(x, y):
    sum1, sum2, n=sum(x), sum(y), len(x)
    sumofxy=multipl(x,y)
    sumofx2 = sum([pow(i,2) for i in x])
    sumofy2 = sum([pow(j,2) for j in y])
    num=sumofxy-(float(sum1)*float(sum2)/n)
    den=sqrt((sumofx2-float(sum1**2)/n)*(sumofy2-float(sum2**2)/n))
    return num/den

def mixdist(v1, v2):
    return corrcoefdist(v1,v2)+L2dist(v1,v2)

def hcluster(features, distfcn=corrcoefdist):
    """ 用层次聚类对行特征进行聚类 """
    # 用于保存计算出的距离
    distances = {}
    # 每行初始化为一个簇
    node = [ClusterLeafNode(array(f), id=i) for i, f in enumerate(features)]
    ddd = {}
    for i,ni in enumerate(node):
        for j,nj in enumerate(node):
            ddd[i,j] = distfcn(ni.vec, nj.vec)

    while len(node) > 1:
        closest = float('Inf')
        # 遍历每对, 寻找最小距离
        for ni, nj in combinations(node, 2):
            if (ni, nj) not in distances:
                distances[ni, nj] = distfcn(ni.vec, nj.vec)
            d = distances[ni, nj]
            if d < closest:
                closest = d
                lowestpair = (ni, nj)
        ni, nj = lowestpair
        # 对两个簇求平均
        new_vec = (ni.vec + nj.vec) / 2.0
        # 创建新的节点
        new_node = ClusterNode(new_vec, left=ni, right=nj, distance=closest)
        node.remove(ni)
        node.remove(nj)
        node.append(new_node)
    return node[0], ddd

```

```

def draw_dendrogram(node, imlist, filename='clusters.jpg'):
    rows = node.get_height() * 20
    cols = 600
    # 距离缩放因子, 以便适应图像宽度
    s = float(cols - 150) / node.get_depth()
    # 创建图像, 并绘制对象
    im = Image.new('RGB', (cols, rows), (255, 255, 255))
    draw = ImageDraw.Draw(im)
    # 初始化树开始的线条
    draw.line((0, rows / 2, 20, rows / 2), fill=(0, 0, 0))
    # 递归地画出节点
    node.draw(draw, 20, (rows / 2), s, imlist, im)
    im.save(filename)
    im.show()

if __name__ == "__main__":
    path = r'C:\Users\77526\Desktop\lzc\资料\DEMO\data'
    imlist = [os.path.join(path, f) for f in os.listdir(path) if f.endswith('.png')]

    # 提取特征向量, 每个颜色通道量化成 8 个小区间
    features = zeros([len(imlist), 512])
    for i, f in enumerate(imlist):
        im = array(Image.open(f))
        # 多维直方图
        h, edges = histogramdd(im.reshape(-1, 3), 8, normed=True, range=[(0, 255), (0, 255), (0, 255)])
        features[i] = h.flatten()
    tree, distances = hcluster(features)
    dis = zeros((16,16))
    for key in distances.keys():
        i,j = key
        dis[i,j] = distances[key]
    ax = sns.heatmap(dis)
    plt.show()

    draw_dendrogram(tree, imlist, filename='sunset.png')

```